



引用格式:

廖振军, 曾慧兰, 高灿, 周素云, 刘桂生, 李润根. 江西樱花褐斑病菌的鉴定及其对杀菌剂的敏感性[J]. 湖南农业大学学报(自然科学版), 2022, 48(4): 449–453.

LIAO Z J, ZENG H L, GAO C, ZHOU S Y, LIU G S, LI R G. Identification of the pathogen causing brown spot in *Cerasus* in Jiangxi and its sensitivity to fungicides[J]. Journal of Hunan Agricultural University(Natural Sciences), 2022, 48(4): 449–453.

投稿网址: <http://xb.hunau.edu.cn>

## 江西樱花褐斑病菌的鉴定及其对杀菌剂的敏感性

廖振军<sup>1,2</sup>, 曾慧兰<sup>1,2</sup>, 高灿<sup>1,2</sup>, 周素云<sup>1,2</sup>, 刘桂生<sup>3</sup>, 李润根<sup>1,2\*</sup>

(1.宜春学院生命科学与资源环境学院, 江西 宜春 336000; 2.江西省作物生长发育调控重点实验室, 江西 宜春 336000; 3.江西高安巴夫洛生态谷有限公司, 江西 高安 330800)

**摘要:** 为明确江西樱花褐斑病病原菌的种类, 以樱花典型褐斑病叶片为材料, 采用组织分离法, 通过形态特征鉴定并结合 SSU、LSU、ITS、GAPDH、TEF、RPB2、*Alt al* 和 *His 3* 等基因分子生物学方法进行病原鉴定。结果表明: 江西樱花褐斑病病原菌为交链格孢(*Alternaria alternata*); 采用生长速率法测定病原菌对 10% 苯醚甲环唑水粉散剂、12.5% 烯唑醇可湿性粉剂、 $2 \times 10^8$  cfu/g 木霉可湿性粉剂、500 g/L 异菌脲水悬浮剂、400 g/L 氟硅唑乳油、325 g/L 苯甲·噁菌酯水悬浮剂、430 g/L 戊唑醇水悬浮剂、250 g/L 噻菌酯水悬浮剂等 8 种药剂的敏感性, 苯醚甲环唑、烯唑醇和木霉等对病原菌有明显的抑制作用, EC<sub>50</sub> 值分别为 0.001、0.022 mg/L 和 0.168 个孢子/mL。推荐这 3 种药剂作为江西樱花褐斑病防治的优选药剂。

**关键词:** 樱花褐斑病; 交链格孢; 病原鉴定; 杀菌剂; 敏感性; 江西

中图分类号: S432.1 文献标志码: A 文章编号: 1007-1032(2022)04-0449-05

## Identification of the pathogen causing brown spot in *Cerasus* in Jiangxi and its sensitivity to fungicides

LIAO Zhenjun<sup>1,2</sup>, ZENG Huilan<sup>1,2</sup>, GAO Can<sup>1,2</sup>, ZHOU Suyun<sup>1,2</sup>, LIU Guisheng<sup>3</sup>, LI Rungen<sup>1,2\*</sup>

(1. College of Life Science and Environmental Resource, Yichun University, Yichun, Jiangxi 336000, China; 2. Jiangxi Key Laboratory of Crop Growth Regulation, Yichun, Jiangxi 336000, China; 3. Jiangxi Gaoan Bafuluo Ecological Valley Co. Ltd, Gaoan, Jiangxi 330800, China)

**Abstract:** To clarify the specific pathogenic species of brown spot in *Cerasus Mill*, typical infected leaves were used as materials. Traditional tissue separation method and morphological identification method were combined with analysis of multilocus of SSU, LSU, ITS, GAPDH, TEF, RPB2, *Alt al* and *His 3* to identify the pathogen. And *Alternaria alternata* was identified as the pathogen of brown spot in *Cerasus*. The growth rate method was used to determine the sensitivity of the pathogen to 8 fungicides including 10% difenoconazole(WG), 12.5% diniconazole(WP),  $2 \times 10^8$  cfu/g trichoderma (WP), 500 g/L isocarbazide(SC), 400 g/L flusilazole(EC), 325 g/L difenoconazole-azoxystrobin(SC), 430 g/L tebuconazole(SC), 250 g/L azoxystrobin(SC). Difenoconazole, diniconazole and trichoderma had stronger inhibitory effect against the pathogen, with the concentration for 50% of maximal effect(EC<sub>50</sub>) being 0.001 mg/L, 0.022 mg/L and 0.168 spores/mL respectively. These three fungicides mentioned above were recommended as the best fungicides for the pathogen of brown spot in *Cerasus* in Jiangxi Province.

收稿日期: 2022-02-15

修回日期: 2022-04-11

基金项目: 江西省科学技术厅重点研发项目(20161BBF60040)

作者简介: 廖振军(1970—), 男, 江西宜春人, 硕士, 副教授, 主要从事园林植物应用研究, ycxylzj@163.com; \*通信作者, 李润根, 硕士, 教授, 主要从事植物病理学研究, 13507058200@163.com

**Keywords:** brown spot of in *Cerasus*; *Alternaria alternata*; pathogen identification; fungicides; sensitivity; Jiangxi

江西优越的气候和立地条件十分适合樱花生长。随着樱花栽培面积的不断扩大和年限的延长,樱花病害发生有加重的趋势。已报道的樱花病害主要有樱花根癌病<sup>[1-2]</sup>、樱花褐斑穿孔病<sup>[3-4]</sup>等。2020年5—6月,江西高安等地发生较严重的樱花褐斑病,发病严重地块的发病率达90%,大量樱花叶片褐腐、脱落,严重影响了樱花的正常生长和观赏品质。笔者采集具有典型褐斑病症状的樱花叶片,采用组织分离法和生长速率法,运用形态学观察和分子生物学鉴定方法确定了褐斑病病原菌,并筛选出抑菌效果较好的杀菌剂。现将结果报告如下。

## 1 材料与方法

### 1.1 材料

于2020年5月中旬,在江西高安巴夫洛生态谷有限公司基地采集樱花褐斑病发病叶片。

植物DNA提取试剂盒,天生化科技(北京)有限公司产品。

供试药剂:10%苯醚甲环唑水粉散剂、325 g/L苯甲·嘧菌酯水悬浮剂、250 g/L嘧菌酯水悬浮剂为先正达南通作物保护有限公司产品;12.5%烯唑醇可湿性粉剂为四川润尔科技有限公司产品; $2 \times 10^8$  cfu/g木霉可湿性粉剂(牛博士)为山东泰诺药业有限公司产品;500 g/L异菌脲水悬浮剂为江西禾益化工股份有限公司产品);400 g/L氟硅唑乳油为江门市大光明农化新会有限公司产品;430 g/L戊唑醇水悬浮剂为拜耳股份公司产品。

### 1.2 方法

#### 1.2.1 樱花褐斑病病原菌的分离与鉴定

采用组织分离法,用马铃薯葡萄糖琼脂培养基(PDA)<sup>[5]</sup>对樱花褐斑病病原菌进行分离纯化,纯化后的菌株接种至马铃薯胡萝卜琼脂培养基(PCA)<sup>[6]</sup>上,于25℃、每天12 h光暗交替培养。参照陈捷<sup>[7]</sup>、陆家云<sup>[8]</sup>和张天宇<sup>[9]</sup>记录的方法,观察记载病原菌落的形态、分生孢子、分生孢子链的形态特征。

将培养7 d后的病原菌打取直径0.5 cm的菌块,采用刺伤接种方法,在灭菌的健康樱花叶片上接种。接种后的叶片放置培养皿中,25℃保湿培养,观察

叶片发病情况。待叶片发病后,再从叶片病健部位分离病原菌,并与初分离获得的菌株性状进行比较。

用植物基因组DNA提取试剂盒提取病原菌的DNA。以SSU(NS1/NS4)、LSU(LR0R/LR5)、ITS(ITS1/ITS4)、gapdh(gpd1/gpd2)、rpb2(RPB2-5F/RPB2-7cR)、tef1(EF-1F/EF-1R)、Alt al(Alt-for/Alt-rev)和组蛋白(H3-1a/H3-1b)等引物<sup>[10-12]</sup>扩增菌株的基因序列。扩增产物经琼脂糖凝胶电泳纯化后,交生工生物工程(上海)股份有限公司测序。测序结果与NCBI官网菌属内其他物种进行Blast比对分析。运用MEGA 5.2.2,采用最大似然法构建系统发育树。

#### 1.2.2 杀菌剂对病原菌的室内毒力测定

参考李润根等<sup>[13]</sup>方法,配制PDA含药培养基:苯醚甲环唑质量浓度分别为0.200 0、0.020 0、0.002 0、0.001 0、0.000 2、0.000 1 mg/L;烯唑醇质量浓度分别为0.125、0.012 5、0.002 5、0.001 25、0.000 25、0.000 125 mg/L;木霉质量浓度分别为5.0、2.0、1.0、0.5、0.33、0.20 mg/L;异菌脲质量浓度分别为100.00、25.00、10.00、5.00、0.50、0.25 mg/L;氟硅唑质量浓度分别为40.00、8.00、0.80、0.20、0.133、0.08 mg/L;苯甲·嘧菌酯质量浓度分别为65.000、32.500、6.500、3.250、0.650、0.325 mg/L;戊唑醇质量浓度分别为86.000、21.500、8.600、4.300、0.430、0.143 mg/L;嘧菌酯质量浓度分别为500、50、5、2.5、0.833、0.5 mg/L,均以加入等量无菌水的培养基为对照。采用生长速率法进行药剂筛选。接种直径为5 mm的菌饼,每天12 h光暗交替、25℃恒温培养,每个处理重复3次。7 d后取出,用十字交叉法测量菌落直径,并计算抑菌率<sup>[13]</sup>。利用Excel和SPSS 22.0求各药剂毒力回归方程、相关系数、EC<sub>50</sub>和EC<sub>90</sub>。

## 2 结果与分析

### 2.1 樱花褐斑病症状及病原菌的致病性

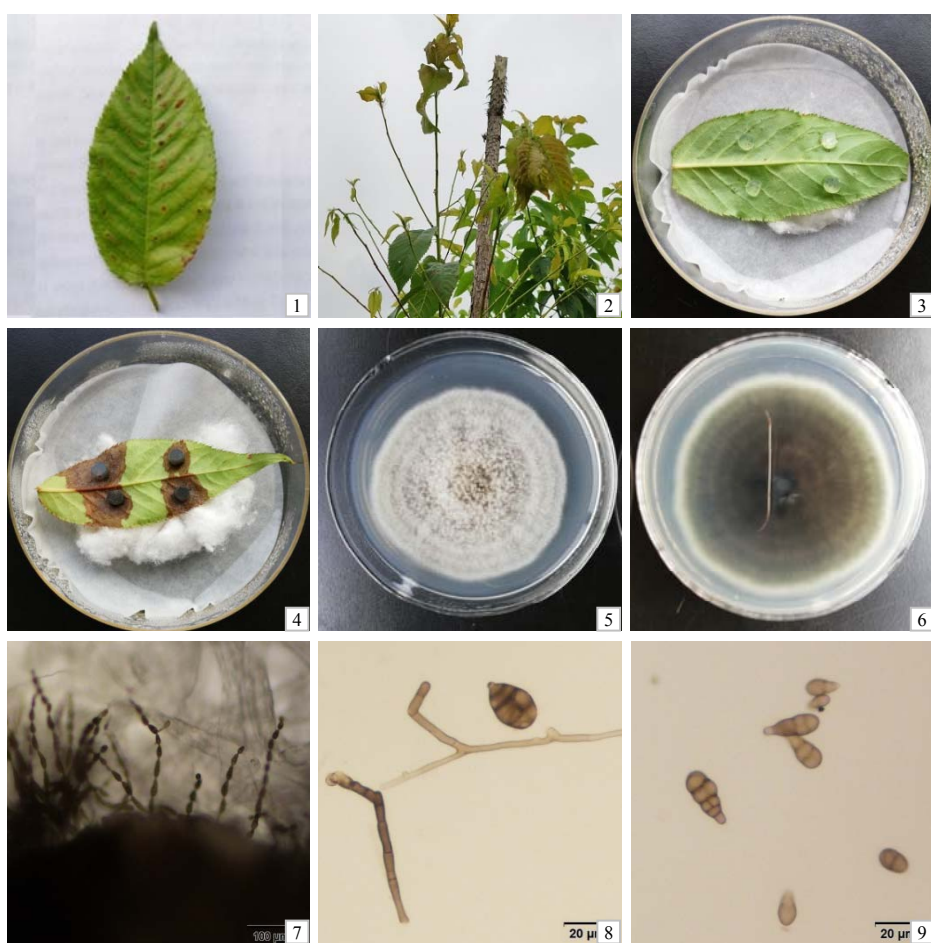
江西高安樱花褐斑病5月上旬始发,5月中下旬进入盛期,重病株发病率达90%以上。褐斑病菌主要侵染叶片,新叶较老叶发病严重。病斑呈圆形、近圆形或不规则形,中央褐色,部分边缘淡黄色,

后期病斑常在叶片背面形成大斑，叶片黄化，脱落(图1-1、图1-2)。

对采集的病叶进行病菌分离、纯化，共获得8个真菌分离物，这些分离物在PDA平板上的培养性状基本一致。选取代表性分离物yh9-5菌丝块接种在健康樱花叶片上，先出现褐色斑点，后逐渐扩大成圆形，最后圆形连成一片，病斑呈水渍状，淡褐色。接种yh9-5菌株后7 d开始发病，至12 d时症状明显(图1-4)，而对照没有症状(图1-3)。从发病叶片上分离的菌株与接种的病原菌一致，确定yh9-5为樱花褐斑病病原菌。

## 2.2 樱花褐斑病病原菌的鉴定结果

病原菌yh9-5菌落呈圆形，初期无色，后转为灰白色，生长较快，菌丝密，气生菌丝呈灰白色、发达，菌落较平滑，背面呈青褐色，具灰白色轮纹(图1-5、图1-6)；次生分生孢子梗或孢子侧向分支，形成短孢子链，直立或弯曲，分生孢子呈深褐色，倒梨形、卵形或倒棍棒形，有0~4个横隔，多数有4个横隔，0~4个纵隔，部分孢子具柱状喙，分生孢子大小 $(12.7\sim30.9)\text{ }\mu\text{m}\times(8.2\sim19.3)\text{ }\mu\text{m}$ (图1-7、图1-8、图1-9)。初步确定菌株为链格孢属。



1 田间发病叶片；2 田间发病植株；3 PDA接种12 d樱花叶片；4 yh9-5接种12 d樱花叶片；5 PCA 培养7 d 时菌落正面；6 PCA 培养7 d 时菌落背面；7 yh9-5产孢表型；8 yh9-5分生孢子梗；9 yh9-5分生孢子。

图1 樱花褐斑病的发病症状及病原菌的形态特征

Fig.1 Symptoms of brown spot in *Cerasus* and morphological characteristics of the pathogen strain yh9-5

选取SSU、LSU、ITS、GAPDH、TEF、RPB2和*Alt a 1*基因序列进行扩增，得到大小分别为1018、838、539、586、250、724、481 bp的片段。采用*His 3*基因序列进行扩增，得到大小约为534 bp的片段。将获得的SSU等7基因序列，利用NCBI网站

和软件MEGA5.2.2选用模式种*Alternaria alternata* (Fr.) Keissl的11个种和1个复合种<sup>[14]</sup>等近缘种建立系统发育树，结果，yh9-5与菌株A. alternata AC82<sup>[15]</sup>聚在一支，确定引起江西樱花褐斑病的病原菌yh9-5为交连格孢(*Alternaria alternata*)(图2)。

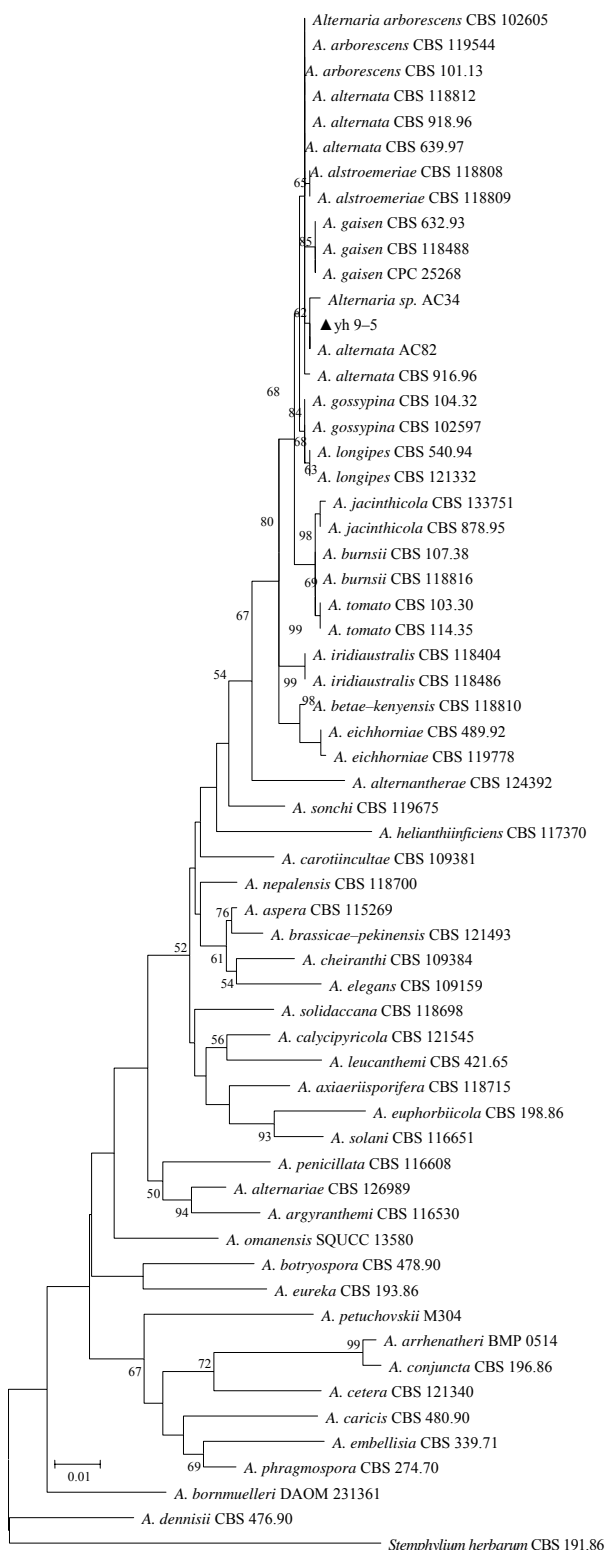


图2 基于SSU、LSU、ITS、GAPDH、TEF、RPB2和Alt al基因整合序列构建的樱花褐斑病菌株及相似病菌的系统发育树

Fig.2 Phylogenetic tree based on SSU, LSU, ITS, GAPDH, TEF, RPB2 and Alt al sequences using maximum likelihood method

### 2.3 杀菌剂对樱花褐斑病菌的室内毒力

8种杀菌剂对yh9-5菌丝的生长均有抑制作用。

苯醚甲环唑、烯唑醇和木霉等药剂的EC<sub>50</sub>值分别为0.001 mg/L、0.022 mg/L和0.168个孢子/mL，抑菌作用较明显；异菌脲和氟硅唑对yh9-5菌丝生长的EC<sub>50</sub>值分别为0.763、0.932 mg/L。为进一步确定供试药剂对yh9-5菌的抑制作用，对8种药剂的EC<sub>90</sub>值进行分析比较，其中，EC<sub>90</sub>值较小的有苯醚甲环唑、异菌脲和氟硅唑等（表1）。

表1 8种杀菌剂对病原菌菌丝生长的毒性

Table 1 Toxicity of tested fungicides on mycelial growth of *Alternaria alternata*

药剂	毒力回归方程	相关系数	EC <sub>50</sub> / (mg·L <sup>-1</sup> )	EC <sub>90</sub> / (mg·L <sup>-1</sup> )
10%苯醚甲环唑水分散剂	y=0.543x+6.729	0.976	0.001	0.150
12.5%烯唑醇可湿性粉剂	y=0.415x+5.684	0.934	0.022	27.542
2×10 <sup>8</sup> cfu/g 木霉可湿性粉剂	y=0.270x+5.209	0.920	0.168	9388.422
500 g/L 异菌脲水悬浮剂	y=1.109x+5.130	0.952	0.763	10.925
400 g/L 氟硅唑乳油	y=1.085x+5.033	0.967	0.932	14.151
325 g/L 苯甲·嘧菌酯水悬浮剂	y=0.768x+4.993	0.996	1.021	47.628
430 g/L 戊唑醇水悬浮剂	y=0.995x+4.860	0.944	1.383	26.838
250 g/L 噻菌酯水悬浮剂	y=0.225x+4.111	0.994	8.935×10 <sup>3</sup>	4.437×10 <sup>3</sup>

从毒力回归方程来看，病原菌对异菌脲最敏感，而对嘧菌酯最不敏感。

### 3 小结与讨论

根据江西高安樱花褐斑病病原菌的形态学鉴定结果，结合多基因联合构建系统发育树，确定樱花褐斑病病原菌菌株yh9-5为交链格孢。yh9-5与*Alternaria alternata* (Fr.) Keissl模式种聚为一群，都归属于*A. Alternaria*一类，但又不与模式菌株*A. Alternaria* CBS 918.96聚为一支。冯中红等<sup>[14]</sup>研究认为，由于对*A. alternata*种的界限尚未明确界定，链格孢组群内种的关系仍存在许多争议<sup>[14]</sup>，说明链格孢种级分类体系仍需完善。

8种药剂对菌株yh9-5均有一定的抑制作用，苯醚甲环唑的抑菌作用最强，烯唑醇、异菌脲的抑菌作用较强，嘧菌酯的抑制作用最差，这与范文忠等<sup>[16]</sup>的研究结论类似，但与刘俏等<sup>[17]</sup>研究的樱桃叶斑病菌差异较大，可能是不同链格孢菌株所致。木霉系生物农药的抑菌效果也很好，因此，推荐使用苯醚甲环唑、烯唑醇和木霉等防治樱花褐斑病。

### 参考文献：

- [1] 倪大炜，沈杰，张炳欣. 日本樱花根癌病病原菌的鉴定及其防治[J]. 微生物学通报, 1999, 26(1): 11-14.
- [2] 王志龙，金杨唐，谭志文，等. 宁波樱花根癌病病原细菌鉴定[J]. 植物保护, 2014, 40(3): 147-150.
- [3] 汤春梅，杨庆森. 天水城市园林植物真菌病害调查初

- 报[J]. 甘肃农业科技, 2016(11): 35–37.
- [4] 刘秀丽, 张楠楠. 樱花穿孔性褐斑病防治试验[J]. 山东林业科技, 2014, 44(5): 86.
- [5] 梁萍, 宁平, 简峰, 等. 黄脉爵床棒孢霉叶斑病病原菌及其生物学特性鉴定[J]. 植物病理学报, 2018, 48(6): 758–765.
- [6] 龙巧芳, 梁文, 蒋芹娜, 等. 贵州六盘水地区大白菜黑斑病病原菌鉴定及培养特性研究[J]. 中国蔬菜, 2022(1): 89–95.
- [7] 陈捷. 现代植物病理学研究方法[M]. 北京: 中国农业出版社, 2007.
- [8] 陆家云. 植物病原真菌学[M]. 北京: 中国农业出版社, 2001.
- [9] 张天宇. 中国真菌志(第十六卷)链格孢属[M]. 北京: 科学出版社, 2013.
- [10] WOUDENBERG J H C, SEIDL M F, GROENEWALD J Z, et al. *Alternaria* section *Alternaria*: species, formae speciales or pathotypes?[J]. Studies in Mycology, 2015, 82: 1–21.
- [11] 宋博, 朱晓锋, 徐兵强, 等. 库尔勒香梨果萼黑斑病病原鉴定及其ITS、GPD和EF-1 $\alpha$ 序列分析[J]. 园艺学报, 2016, 43(2): 329–336.
- [12] 李映程, 张国丽, 任毓忠, 等. 基于 rDNA-ITS 和组蛋白 3 基因序列分析鉴定新疆棉花叶斑病病原[J]. 棉花学报, 2018, 30(3): 272–281.
- [13] 李润根, 曾慧兰, 卢其能, 等. 百合枯萎病菌 *Fusarium commune* 的鉴定及其对杀菌剂敏感性研究[J]. 园艺学报, 2021, 48(1): 162–172.
- [14] 冯中红, 孙广宇. 链格孢属及相关属分类研究新进展[J]. 菌物研究, 2020, 18(4): 294–303.
- [15] NISHIKAWA J, NAKASHIMA C. Japanese species of *Alternaria* and their species boundaries based on host range[J]. Fungal Systematics and Evolution, 2020(5): 197–281.
- [16] 范文忠, 冯时, 姜仁婧, 等. 紫穗槐叶斑病病原菌生物学特性及药剂敏感性[J]. 东北林业大学学报, 2020, 48(7): 128–132.
- [17] 刘俏, 宁楠楠, 马永强, 等. 青海省樱桃叶斑病菌生物学特性及室内药剂毒力测定[J]. 植物保护, 2021, 47(3): 136–143.

责任编辑: 罗慧敏

英文编辑: 罗维

## (上接第 415 页)

- [19] LI D Y, FU F Y, ZHANG H J, et al. Genome-wide systematic characterization of the bZIP transcriptional factor family in tomato (*Solanum lycopersicum* L. )[J]. BMC Genomics, 2015, 16: 771.
- [20] WANG W B, QIU X P, YANG Y X, et al. Sweetpotato bZIP transcription factor *IbABF*<sub>4</sub> confers tolerance to multiple abiotic stresses[J]. Frontiers in Plant Science, 2019, 10: 630.
- [21] HOSSAIN M A, CHO J I, HAN M, et al. The ABRE-binding bZIP transcription factor OsABF<sub>2</sub> is a positive regulator of abiotic stress and ABA signaling in rice[J]. Journal of Plant Physiology, 2010, 167(17): 1512–1520.
- [22] HERATH V, VERCHOT J. Insight into the bZIP gene family in *Solanum tuberosum*: genome and transcriptome analysis to understand the roles of gene diversification in spatiotemporal gene expression and function[J]. International Journal of Molecular Sciences, 2020, 22(1): 253.
- [23] CHANG Y, NGUYEN B H, XIE Y J, et al. Co-overexpression of the constitutively active form of OsbZIP46 and ABA-activated protein kinase SAPK<sub>6</sub> improves drought and temperature stress resistance in rice[J]. Frontiers in Plant Science, 2017, 8: 1102.
- [24] ZHANG L N, ZHANG L C, XIA C, et al. A novel wheat bZIP transcription factor, TabZIP60, confers multiple abiotic stress tolerances in transgenic *Arabidopsis*[J]. Physiologia Plantarum, 2015, 153(4): 538–554.
- [25] YING S, ZHANG D F, FU J, et al. Cloning and characterization of a maize bZIP transcription factor, ZmbZIP72, confers drought and salt tolerance in transgenic *Arabidopsis*[J]. Planta, 2012, 235(2): 253–266.
- [26] MA H Z, LIU C, LI Z X, et al. ZmbZIP<sub>4</sub> contributes to stress resistance in maize by regulating ABA synthesis and root development[J]. Plant Physiology, 2018, 178(2): 753–770.
- [27] 周文涛, 龙文飞, 戈家敏, 等. 增密减氮对双季稻光合特性及水分利用率的影响[J]. 湖南农业大学学报(自然科学版), 2022, 48(1): 1–7.
- [28] GAUDINIER A, RODRIGUEZ-MEDINA J, ZHANG L F, et al. Transcriptional regulation of nitrogen-associated metabolism and growth[J]. Nature, 2018, 563: 259–264.
- [29] CHEN X B, YAO Q F, GAO X H, et al. Shoot-to-root mobile transcription factor HY5 coordinates plant carbon and nitrogen acquisition[J]. Current Biology, 2016, 26(5): 640–646.
- [30] JAGADHESAN B, SATHEE L, MEENA H, et al. Genome wide analysis of *NLP* transcription factors reveals their role in nitrogen stress tolerance of rice[J]. Scientific Reports, 2020, 10: 9368.

责任编辑: 毛友纯

英文编辑: 柳正